



На правах рукописи

ВОСТРОВ Дмитрий Олегович

**ЭЛЕКТРОННЫЕ ВОЗБУЖДЕНИЯ, ЛЮМИНЕСЦЕНЦИЯ И
ТЕРМОСТИМУЛИРОВАННЫЕ РЕКОМБИНАЦИОННЫЕ ПРОЦЕССЫ В
МОНОКРИСТАЛЛАХ И КРИСТАЛЛОВОЛОКНАХ $\text{Li}_6\text{GdB}_3\text{O}_9:\text{Ce}$**

01.04.07 – Физика конденсированного состояния

АВТОРЕФЕРАТ
диссертации на соискание ученой степени
кандидата физико-математических наук

Екатеринбург – 2015

Работа выполнена на кафедре экспериментальной физики ФГАОУ ВПО “Уральский федеральный университет имени первого Президента России Б.Н. Ельцина”

Научный руководитель: доктор физико-математических наук, профессор
Огородников Игорь Николаевич

Официальные оппоненты: **Арбузов Валерий Иванович**,
доктор физико-математических наук, профессор,
ФГАОУ ВО “Санкт-Петербургский национальный
исследовательский университет информационных
технологий, механики и оптики”, профессор кафедры
оптоинформационных технологий и материалов;

Спирина Альфия Виликовна,
кандидат физико-математических наук, ФГБУН
Институт электрофизики УрО РАН, научный сотрудник
лаборатории квантовой электроники

Ведущая организация: ФГАОУ ВО “Национальный исследовательский Том-
ский политехнический университет”

Защита диссертации состоится «04» декабря 2015 г. в 15:00 часов на заседании диссертационного совета Д.212.285.02 на базе ФГАОУ ВПО «Уральский федеральный университет имени первого Президента России Б.Н. Ельцина» по адресу: 620002, г. Екатеринбург, ул. Мира, 19, аудитория И-420 (зал Ученого совета).

С диссертацией можно ознакомиться в библиотеке и на сайте ФГАОУ ВПО «Уральский федеральный университет имени первого Президента России Б.Н. Ельцина», <http://dissovet.science.urfu.ru/news2/>

Автореферат разослан «___» 2015 г.

Ученый секретарь
диссертационного совета



Ищенко Алексей Владимирович

ОБЩАЯ ХАРАКТЕРИСТИКА РАБОТЫ

Актуальность темы. Современные оптические материалы для практических применений в широком диапазоне энергий от инфракрасной (ИК) до вакуумной ультрафиолетовой (ВУФ) областей спектра, должны удовлетворять многим весьма жестким требованиям. Семейство двойных ортоборатов щелочного металла - трехвалентного редкоземельного металла, в частности, кристаллы $\text{Li}_6\text{MeB}_3\text{O}_9:\text{Re}$ ($\text{Me} = \text{Eu}, \text{Gd}, \text{Ho}, \text{Lu}, \text{Yb}, \text{Y}$), легированные примесными ионами $\text{Re} = \text{Eu}, \text{Ce}, \text{Y}$, являются одним из перспективных направлений таких исследований. Перспективными направлениями их практического применения являются не только твердотельные радиационные детекторы, но также активные элементы коротковолновой лазерной и световой техники.

Кристаллы LGBO:Re прозрачны в широкой области спектра, обладают высокой радиационно-оптической устойчивостью и имеют следующие преимущества. Во-первых, в состав LGBO входят химические элементы B, Li и Gd, имеющие стабильные изотопы с высокими сечениями захвата тепловых и медленных нейтронов с энергией ниже нескольких килоэлектрон-вольт, что делает возможными различные нейtron-захватные реакции. Во-вторых, кристаллы LGBO характеризуются высокой изоморфной емкостью для вхождения трехвалентных редкоземельных ионов в качестве примесей замещения в позиции матричных ионов Gd^{3+} . В-третьих, в LGBO имеет место эффективный канал передачи энергии электронных возбуждений от матрицы к трехвалентным примесным ионам. Переход к кристалловолоконной форме позволяет не только улучшить сцинтиляционные свойства материала за счет более эффективного светосбора, но и открывает новые возможности в области кристалловолоконной лазерной и световой техники.

Несмотря на огромный интерес к данному материалу, до сих пор выполнено очень мало исследований фундаментального плана в области изучения электронной структуры, люминесценции и термостимулированных рекомбинационных процессов с участием дефектов решетки. Особенно это касается области низких температур: имеют место фрагментарные данные по монокристаллам и практически полностью отсутствуют данные для кристалловолоконных образцов.

Степень разработанности проблемы исследования. Результаты исследования LGBO:Re, нацеленные на прикладные аспекты, свидетельствуют, что до-

стигнутые характеристики данного оптического материала далеки от теоретических пределов. Установление причин такого положения дел требует выполнения фундаментальных исследований электронной структуры и процессов переноса энергии электронных возбуждений в широкой области энергий. Несмотря на огромный интерес к данному материалу, до сих пор выполнено очень мало исследований фундаментального плана в области изучения электронной структуры, люминесценции и термостимулированных рекомбинационных процессов с участием дефектов решетки. Особенно это касается области низких температур: имеют место фрагментарные данные по монокристаллам и практически полностью отсутствуют данные для кристалловолоконных образцов. Несмотря на предполагаемые различия с точки зрения первичной дефектности, до сих пор не проводилось сравнительного исследования монокристаллических и кристалловолоконных образцов LGBO:Re в широких температурной и спектральной областях.

Целью настоящей работы является комплексное экспериментальное исследование электронной структуры и процессов переноса энергии электронных возбуждений в кристаллах и кристалловолоконных образцах LGBO, легированных трехвалентными примесными ионами Ce³⁺ (LGBO:Ce) с использованием техники люминесцентной и оптической спектроскопии в широких температурной (10-500 K) и энергетической (1.2-21 эВ) областях.

Для достижения поставленной цели потребовалось выполнить комплекс исследований и решить следующие задачи:

1. Экспериментально изучить параметры электронной структуры и процессы релаксации электронных возбуждений в монокристаллических образцах LGBO:Ce методом низкотемпературной ($T = 10$ и 30 K) люминесцентно-оптической ВУФ-спектроскопии при селективном фотовозбуждении синхротронным излучением в области низкоэнергетического края фундаментального поглощения.
2. В диапазоне температур от 10 до 500 K исследовать фотолюминесцентные характеристики (спектры фотолюминесценции (ФЛ) и возбуждения фотолюминесценции (ВФЛ), а также температурные зависимости интенсивности ФЛ) монокристаллических и кристалловолоконных образцов LGBO:Ce методом фотолюминесцентной спектроскопии при селективном фотовозбуждении различными энергиями.

3. Исследовать кинетику неравновесных процессов и процессов создания и эволюции короткоживущих радиационно-индуцированных дефектов в монокристаллических и кристалловолоконных образцах LGBO:Ce времяразрешенными методами импульсной абсорбционной спектроскопии и импульсной катодолюминесценции при возбуждении электронным пучком наносекундной длительности при комнатной температуре.
4. В диапазоне температур от 10 до 500 К методами стационарной рентгенолюминесценции (РЛ) и термостимулированной люминесценции (ТСЛ) исследовать термостимулированные рекомбинационные процессы с участием мелких центров захвата в монокристаллических и кристалловолоконных образцах LGBO:Ce.
5. Методом математического моделирования изучить термостимулированные рекомбинационные процессы, происходящих в монокристаллических и кристалловолоконных образцах LGBO:Ce в области температур 80-500 К, установить знаки делокализующихся носителей в пиках ТСЛ, выяснить сходство и различия в кинетике рекомбинационных процессов монокристаллических и кристалловолоконных образцов LGBO:Ce.

Объектами исследования являются практически значимые оптические материалы – монокристаллические и кристалловолоконные образцы LGBO:Ce.

Научная новизна. В широких температурном (10-500 К) и энергетическом (1.2-21 эВ) диапазонах выполнено комплексное экспериментальное исследование параметров электронной структуры, процессов переноса энергии электронных возбуждений и их релаксации, фотолюминесцентных свойств, термостимулированных рекомбинационных процессов, и процессов формирования радиационно-индуцированных дефектов в монокристаллических и кристалловолоконных образцах LGBO:Ce. Впервые получены следующие результаты:

1. Методом низкотемпературной люминесцентно-оптической ВУФ-спектроскопии сняты низкотемпературные ($T = 10$ и 30 К) спектры отражения и ВФЛ монокристаллов LGBO, на основании дисперсионного анализа определены значения минимальной энергии для межзонных переходов в анионной подрешетке LGBO $E_g = 9.4$ эВ, положение первого экситонного максимума $E_{n=1} = 7.5$ эВ для возбуждения анионных эксито-

нов, энергетическое положение и свойства полосы поглощения с переносом заряда O-Gd $E_{\text{CT}} = 6.8$ эВ, энергетический порог возбуждения катионных экситонов в цепочках катионов Gd³⁺ $E_{\text{C}} = 6.6$ эВ.

2. Методом фотолюминесцентной спектроскопии при селективном возбуждении в диапазоне температур от 10 до 500 К для монокристаллических и кристалловолоконных образцов LGBO:Ce сняты спектры ФЛ, ВФЛ и температурные зависимости интенсивности ФЛ. Обнаружена новая интенсивная низкотемпературная полоса ФЛ при 1.9 эВ ($\text{FWHM} = 0.3$ эВ), проявляющаяся только в кристалловолоконных образцах LGBO:Ce.
3. Методами импульсной абсорбционной спектроскопии и импульсной катодолюминесценции (ИКЛ) сняты спектры, кинетика затухания ИКЛ и короткоживущего оптического поглощения (КОП) для монокристаллических и кристалловолоконных образцов LGBO:Ce. На основании результатов численного моделирования пострадиационных рекомбинационных процессов, обусловливающих КОП и ИКЛ, предложена альтернативная модель возбуждения ИКЛ с участием собственных дефектов решетки и примесных ионов церия.
4. Спектры стационарной РЛ, температурные зависимости интенсивности стационарной РЛ и кривые ТСЛ монокристаллических и кристалловолоконных образцов LGBO:Ce изучены в широком диапазоне температур от 10 до 500 К.
5. Методом математического моделирования с привлечением экспериментальных данных по ТСЛ в интегральном и спектрально-селективном режимах, исследованы термостимулированные рекомбинационные процессы, происходящие в области температур 80-500 К, установлены знаки делокализующихся носителей в пиках ТСЛ, объяснено сходство и различия в кинетике рекомбинационных процессов монокристаллических и кристалловолоконных образцов LGBO:Ce.

Теоретическая и практическая значимость работы. Полученные в работе результаты исследования монокристаллических и кристалловолоконных образцов двойного ортобората лития-гадолиния LGBO:Ce представляют не только научный интерес, но и имеют практическую значимость.

С точки зрения физики конденсированного состояния, полученные результаты имеют фундаментальное значение, поскольку достигнутые глубина и степень изученности данного оптического материала позволяет выдвинуть его на роль модельного объекта для всего семейства $\text{Li}_6\text{MeB}_3\text{O}_9$. Впервые полученные в работе экспериментальные данные по низкотемпературным параметрам электронной структуры создают опорный базис для последующих квантовохимических расчетов электронной структуры и фундаментальных спектров LGBO.

С практической точки зрения, полученные результаты имеют важное значение, поскольку оптический материал LGBO:Ce обладает большими перспективами применения в качестве рабочего вещества твердотельных детекторов ионизирующего излучения, активных элементов лазерной и световой техники. В настоящей работе впервые в широких температурном (10-500 К) и спектральном (1.2-21 эВ) диапазонах выполнено детальное сопоставление параметров монокристаллических и кристалловолоконных образцов LGBO:Ce, выявлено их сходство и различия, как в плане формирования первичной дефектности, так и в особенностях переноса и релаксации энергии электронных возбуждений.

Полученные результаты и сформулированные представления о механизмах радиационно-стимулированных процессов могут быть использованы для прогнозирования поведения оптических монокристаллов, кристалловолоконных элементов и устройств на их основе в радиационных полях, разработки технологий целенаправленного измерения их свойств и повышения радиационно-оптической устойчивости. Полученные конкретные данные и разработанные модели создают научные предпосылки для развития, совершенствования и оптимизации новых детекторов корпускулярного излучения, а также активных элементов лазерной и световой техники на основе монокристаллических и кристалловолоконных образцов LGBO:Ce.

Защищаемые положения:

1. Экспериментальные значения параметров электронной структуры LGBO при $T = 10$ К, установленные в результате дисперсионного анализа данных низкотемпературной ВУФ-спектроскопии и расчетов оптических функций, имеют следующие значения: минимальная энергия межзонных переходов в боро-кислородном каркасе LGBO $E_g = 9.4$ эВ, положение первого максимума при возбуждении анионного экситона $E_{n=1} = 7.5$ эВ,

энергетическое положение и свойства полосы поглощения с переносом заряда O-Gd $E_{\text{CT}} = 6.8$ эВ, пороговая энергия возбуждения катионных экситонов в цепочках ионов Gd³⁺ $E_{\text{C}} = 6.6$ эВ.

2. Отличительные особенности низкотемпературной люминесценции кристалловолоконных образцов обусловлены наличием дополнительных дефектов, одним из проявлений которых является интенсивная неэлементарная полоса люминесценции в «красной» области спектра: высокоэнергетическая часть полосы (1.9-2.2 эВ) проявляется при прямом фотовозбуждении, тогда как низкоэнергетическая часть полосы (1.6-1.9 эВ) наблюдается только при наличии переноса энергии электронных возбуждений по схеме Gd³⁺ → Ce³⁺ → центр «красной» люминесценции.
3. Повышенная интенсивность и неэкспоненциальный характер кинетики затухания d-f люминесценции при возбуждении электронным пучком наносекундной длительности обусловлены альтернативным механизмом возбуждения, ключевым моментом которого является формирование короткоживущих центров Ce³⁺ в результате туннельного переноса электрона от подвижных радиационных дефектов Li⁰, созданных под действием электронного пучка, к стабильным дефектам решетки Ce⁴⁺.
4. Специфика термостимулированных рекомбинационных процессов в кристалловолоконных образцах обусловлена преобладающим электронным характером рекомбинационных процессов с участием делокализованных носителей заряда и существенным вкладом междефектной туннельной рекомбинации. Учет этой специфики позволяет использовать единую модель для описания термостимулированных рекомбинационных процессов в монокристаллических и кристалловолоконных образцах.

Личный вклад автора. Диссертационная работа представляет собой обобщение материалов исследований, выполненных лично автором, а также проведенных совместно с научными сотрудниками при непосредственном участии автора. Постановка задач исследований, поиск путей их решения и выбор направлений и методов исследования были проведены совместно с научным руководителем.

Измерения методом низкотемпературной люминесцентно-оптической ВУФ-спектроскопии выполнены профессором д.ф.-м.н. В.А. Пустоваровым на экспериментальной станции SUPERLUMI в лаборатории HASYLAB (электронный

синхротрон DESY, г. Гамбург, Германия), при этом автору принадлежит постановка задачи и анализ результатов совместно с научным руководителем. Измерения импульсной абсорбционной и люминесцентно-оптической спектроскопии выполнены лично автором в Томском политехническом университете (г. Томск) при методической поддержке профессора д.ф.-м.н. В.Ю. Яковлева. Фотолюминесцентная спектроскопия при селективном фотовозбуждении, РЛ и ТСЛ в широком интервале температур выполнены лично автором в Уральском федеральном университете (г. Екатеринбург). Измерения с использованием электронной и оптической микроскопии выполнены лично автором при методической поддержке доцента к.ф.-м.н. А.В. Ищенко.

Постановка задач исследований, обработка, анализ, обобщение результатов, подготовка научных публикаций и докладов, формулировка защищаемых положений и выводов по диссертационной работе принадлежат лично автору.

Апробация результатов. Основные результаты диссертационной работы докладывались и обсуждались на следующих конференциях: Международной школе по физике высоких энергий и ускорительной физике в CERN (г. Женева, Швейцария, 2014); 16-й Международной конференции по радиационной физике и химии неорганических материалов RPC-15 (г. Томск, 2012) и RPC-16 (г. Томск, 2014); Первой Международной молодежной научной конференции посвященная 65-летию основания Физико-технологического института (г. Екатеринбург, 2014); X-ой Иссык-Кульской Международной конференции по радиационной физике SCORPH-2013 (г. Бишкек, Киргизия, 2013).

Публикации. Основные результаты исследований опубликованы в 13 научных работах, в том числе в 7 статьях в реферируемых российских и зарубежных периодических научных изданиях, входящих в список ВАК, Scopus и Web of Science; в сборнике научных трудов - 1 статья; тезисы докладов конференций - 5.

Объем и структура диссертации. Диссертация состоит из введения, пяти глав, заключения, выводов, списка сокращений и списка цитируемой литературы. Объем диссертации составляет 178 страниц, содержит 59 рисунков, 10 таблиц и список цитируемой литературы из 147 наименований.

ОСНОВНОЕ СОДЕРЖАНИЕ РАБОТЫ

Во **введении** обоснована актуальность темы, сформулированы цели и задачи исследования, определены научная новизна полученных результатов и практическая значимость, представлены защищаемые положения и аprobация работы.

В первой главе «**Люминесценция, дефекты и электронные возбуждения и LGBO (аналитический обзор)**» рассмотрены особенности кристаллографической структуры, электронной структуры, точечные дефекты, люминесцентные и сцинтиляционные свойства ортоборатов лития. Приведены методы выращивания данных кристаллов и синтеза кристалловолокон.

Кристаллическая решетка LGBO состоит из Li и Gd многогранников, связанных между собой изолированными треугольниками BO_3 в трехмерный смешанный каркас. Многогранники GdO_8 , связанные общими ребрами, образуют цепочки вдоль постоянной решетки. Катионы Gd в кристаллической структуре образуют зигзагообразные цепочки, вытянутые вдоль направления [0 0 1], по которым происходит перенос энергии.

В кристаллах LGBO:Re в качестве матричных элементов выступают анион кислорода и катионы лития, бора и гадолиния. Трехвалентные ионы Gd^{3+} (матричные ионы) и Re^{3+} (легирующая примесь) относятся к группе лантаноидов (редкоземельных элементов). Электронная конфигурация лантаноидов имеет вид: $4f^{0-14}5d^{0-1}6s^2$. Свойства ионов, связанные с процессом поглощения или излучения света, определяются внутренконфигурационными переходами между $4f^n$ -состояниями и межконфигурационными переходами между $4f^n$ и $5d$ -состояниями.

К точечным дефектам решетки относятся собственные дефекты (вакансии, междуузельные атомы, антиузельные дефекты) и различные примесные дефекты. Для изучения точечных дефектов в оптических материалах используется электронный парамагнитный резонанс, люминесцентно-оптический, спектрально-кинетический и термоактивационный метод.

Собственная люминесценция нелегированных кристаллов LGBO характеризуется излучательными переходами ${}^6\text{P}_J \rightarrow {}^8\text{S}_{7/2}$ в матричном ионе Gd^{3+} . При введении в кристалл LGBO примесей редкоземельных ионов Ce^{3+} происходит замеще-

ние матричных ионов примесными. Данные ионы являются хорошими активаторами. Передача энергии идет только лишь в одну сторону: от матричных ионов к ионам примеси.

Рассмотрены известные данные по сцинтилляционным свойствам кристалла ортобората лития, представляющего интерес, с точки зрения потенциального оптического материала для регистрации нейтронов сцинтилляционным методом.

Во второй главе «**Объекты и методы исследования**» приведены описания: объектов исследования – монокристаллических и кристалловолоконных образцов LGBO:Ce, результатов исследования их поверхности методами электронной и оптической микроскопии, использованных экспериментальных методов и пакетов прикладных программ.

Объектами исследования являются монокристаллические и кристалловолоконные образцы высокого оптического качества на основе кристаллов ортобората лития $\text{Li}_6\text{GdB}_3\text{O}_9$, легированных (0.5-1 мол. %) трехвалентными примесными ионами Ce^{3+} (LGBO:Ce). Объемные монокристаллы LGBO:Ce оптического качества были выращены и переданы нам для исследования Л.И. Исаенко в Институте геологии и минералогии СО РАН (г. Новосибирск, Россия) раствор-расплавным (флюсовым) методом Чохральского с верхним положением затравки при кристаллизации из раствора-расплава. Кристалловолоконные образцы LGBO:Ce оптического качества были синтезированы И.Н. Седуновой в Лионском университете (г. Лион, Франция) методом μ -PD микровытягивания.

Микроструктура поверхности монокристаллических и кристалловолоконных образцов LGBO:Ce была изучена нами посредством электронной и оптической микроскопии. Для этого были использованы сканирующий электронный микроскоп SIGMA VP и конфокальный сканирующий оптический микроскоп Axio CSM 700 фирмы ZEISS.

Низкотемпературная ($T = 10$ и 30 К) люминесцентно-оптическая ВУФ-спектроскопия при возбуждении синхротронным излучением выполнена на станции SUPERLUMI (г. Гамбург, Германия). Спектры возбуждения фотолюминесценции (ВФЛ) и спектры отражения были зарегистрированы в энергетическом диапазоне от 4 до 21 эВ при селективном фотовозбуждении синхротронным излу-

чением. Регистрация ФЛ была осуществлена в диапазоне 1.2-6.2 эВ. Одновременно со спектрами ВФЛ, были измерены спектры отражения под углом падения 17°.

Импульсная абсорбционная спектроскопия с наносекундным временным разрешением, а также спектры и кинетика катодолюминесценции монокристаллических и кристалловолоконных образцов LGBO:Ce при возбуждении электронным пучком наносекундной длительности при $T = 300$ К были выполнены нами в Национальном исследовательском Томском политехническом университете (г. Томск). Регистрация наведенного короткоживущего оптического поглощения (КОП) и импульсной катодолюминесценции (ИКЛ) была осуществлена в спектральном диапазоне 1.2-4.0 эВ фотоэлектрическим методом в соответствии с общей схемой полного внутреннего отражения (угол падения 7°).

Исследование фотолюминесцентных характеристик монокристаллических и кристалловолоконных образцов LGBO:Ce в диапазоне температур $T = 80$ -500 К выполнено нами в лаборатории физики твердого тела кафедры экспериментальной физики УрФУ с использованием специализированной установки для измерения ФЛ и ВФЛ.

Исследование стационарной рентгенолюминесценции (РЛ) и термостимулированной люминесценции монокристаллических и кристалловолоконных образцов LGBO:Ce при возбуждении нефильтрованным рентгеновским излучением лабораторного источника в интервале температур $T = 80$ -500 К выполнено нами в лаборатории физики твердого тела кафедры экспериментальной физики УрФУ с использованием специализированной установки для измерения РЛ и ТСЛ. Возбуждения образцов было выполнено нефильтрованным рентгеновским излучением лабораторного источника (Си-антикатод, $U_a = 40$ кВ, $I_a = 15$ мА). Были зарегистрированы спектры стационарной РЛ в области от 1.5 до 6.2 эВ и кривых ТСЛ в спектрально-интегральном и спектрально-селективном режимах при $T = 80$ -500 К.

Исследования низкотемпературных ФЛ, РЛ и ТСЛ характеристик монокристаллических и кристалловолоконных образцов LGBO:Ce в диапазоне температур $T = 10$ -300 К выполнены нами в лаборатории кафедры экспериментальной физики УрФУ. Спектры стационарной РЛ измерены в интервале энергий от 1.5 до 6.2 эВ при $T = 10, 50, 100, 150, 200, 250$ и 300 К. Кривые ТСЛ в спектрально-

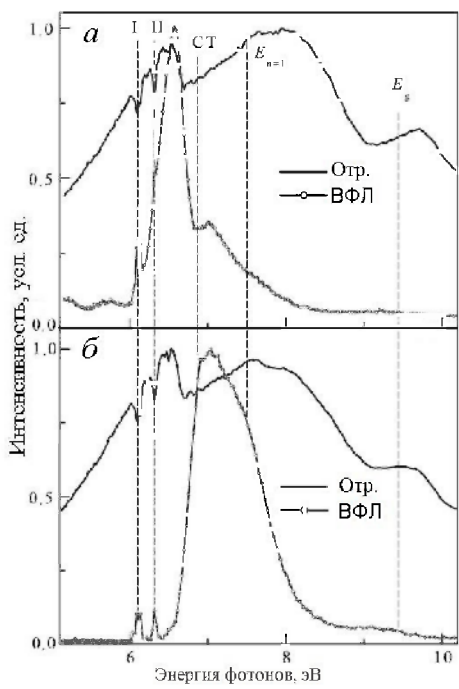


Рисунок 1 – Спектры отражения (Отр.) и спектры возбуждения фотolumинесценции (ВФЛ) для полосы ФЛ при 3.95 эВ, зарегистрированные для монокристалла LGBO при $T = 10$ (а) и 30 К (б). Римские цифры соответствуют оптическим переходам в ионе Gd^{3+} из основного состояния $^8\text{S}_{7/2}$ на возбужденные уровни $^6\text{G}_{7/2}$ (I) и $^6\text{G}_{3/2,13/2}$ (II)

интегральном режиме были измерены в диапазоне температур от 10 до 300 К. Спектры ФЛ и ВФЛ измерены в интервале от 1.5 до 6.2 эВ при 10 К. Температурная зависимость интенсивности ФЛ измерена в диапазоне от 10 до 400 К.

В третьей главе «Оптические свойства и низкоэнергетические электронные возбуждения» рассмотрены параметры электронной структуры монокристаллов ортобората лия-гадолиния $\text{Li}_6\text{GdB}_3\text{O}_9$ и излучательная релаксация электронных возбуждений методом низкотемпературной ($T = 10\text{-}30$ К) люминесцентно-оптической ВУФ-спектроскопии при селективном возбуждении синхротронным излучением. В данных экспериментах были изучены низкотемпературные спектры отражения и спектры возбуждения собственной ФЛ кристаллов LGBO при селективном фотовозбуждении в области энергий от 4 до 21 эВ. Основное внимание было уделено диапазону энергий от 5 до 10.2 эВ, где расположены энергетические пороги возбуждения многих важных процессов в LGBO (рисунок 1). Отметим наиболее важные процессы: 4f-4f оптические переходы в матричных ионах Gd^{3+} , катионные экситоны, оптические переходы с переносом заряда O-Gd, анионные экситоны и межзонные переходы в борокислородном каркасе кристалла LGBO.

Расчеты дисперсии оптических функций были выполнены в рамках осцилляторной модели. Основываясь на низкотемпературных спектрах отражения и расчетах оптических функций $\hat{\epsilon}(E)$, $\hat{n}(E)$ и $\mu(E)$, были определены параметры электронной структуры кристаллов LGBO: значение минимальной энергии для межзонных переходов борокислородного каркаса кристалла LGBO при $T = 10$ К -

$E_g = 9.42$ эВ, положение первого пика поглощения для анионного экситона: $E_{n=1} = 7.46$ эВ, минимальная пороговая энергия возбуждения катионных экситонов в цепочках ионов Gd^{3+} : $E_{CT} = 6.80$ эВ. В области энергий, примыкающей к полосе поглощения с переносом заряда O-Gd, в спектрах возбуждения собственной люминесценции кристаллов LGBO при 10 К обнаружена новая полоса с максимумом при 6.57 эВ. Выявлена преобладающая катионная природа электронных возбуждений в процессе возбуждения собственной люминесценции и передачи энергии электронных возбуждений центрам свечения в кристаллах LGBO. Электронные возбуждения борокислородного каркаса (анионные экситоны и межзонные переходы) не оказывают заметного влияния на процессы возбуждения собственной люминесценции и передачу энергии электронных возбуждений центрам свечения в кристалле LGBO. В исследованном диапазоне энергий возбуждения выше E_g не обнаружено эффективной передачи энергии от матрицы к центрам свечения. Излучательная релаксация возбужденных уровней в кристаллах LGBO происходит вследствие 4f-4f переходов $^6P_J \rightarrow ^8S_{7/2}$ в матричных ионах Gd^{3+} , для которых главным каналом возбуждения при температурах выше 30 К является передача энергии электронных возбуждений посредством миграции катионных экситонов. При более низких температурах доминирующим каналом возбуждения собственной люминесценции в кристаллах LGBO являются оптические переходы (полоса поглощения) с переносом заряда от уровней потолка валентной зоны (O^{2-} 2p-орбитали) кристалла LGBO на уровни $4f^6 5d^1$ в матричном ионе Gd^{3+} .

В четвертой главе «Люминесценция точечных дефектов» впервые в широком интервале температур от 10 до 500 К, в едином цикле исследований было выполнено экспериментальное изучение люминесценции дефектов в монокристаллических и кристалловолоконных образцах LGBO:Сe. Цикл исследований включал в себя изучение спектров ФЛ, ВФЛ, а также температурных зависимостей интенсивностей ФЛ при различных условиях эксперимента. В дополнение к этому, исследованы спектры и кинетика затухания ИКЛ ($T = 80$ и 300 К) и КОП ($T = 300$ К).

В кристаллах LGBO:Сe обеих форм (моноокристаллы и кристалловолоконные образцы) при всех рассмотренных видах возбуждения наблюдается широкая

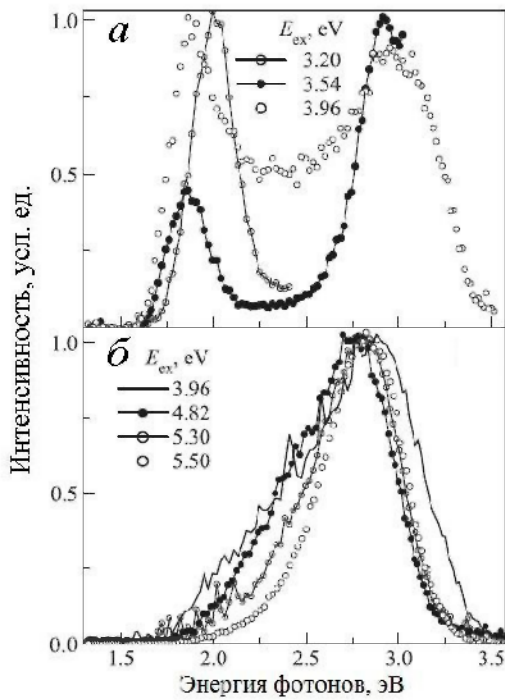


Рисунок 2 – Спектры ФЛ кристалловолокна LGBO:Ce, зарегистрированные при $T = 80$ (а) и 300 К (б) при возбуждении энергией E_{ex} . Интенсивность каждого спектра нормирована на единицу

фотовозбуждении. Доминирующая полоса возбуждения при $E_{\text{ex}} = 3.0$ эВ совпадает с полосой d-f люминесценции ионов Ce^{3+} , что обеспечивает эффективную передачу энергии электронных возбуждений от ионов Ce^{3+} к центрам «красной» люминесценции.

В отличие от монокристаллов, кристалловолоконные образцы LGBO:Ce характеризуются низкой эффективностью собственной люминесценции при 3.97 эВ, обусловленной 4f-4f переходами в ионах Gd^{3+} . Спектроскопические данные свидетельствуют, что вероятной причиной этого в кристалловолоконных образцах является повышенное содержание различных дефектов, которые блокируют передачу энергии катионных экситонов вдоль цепочек матричных ионов Gd^{3+} .

Выявлено наличие нескольких различных механизмов температурного тушения d-f люминесценции ионов Ce^{3+} в кристаллах LGBO:Ce. В случае возбужде-

полоса d-f люминесценции примесных ионов Ce^{3+} . Спектроскопические данные свидетельствуют о наличии центров свечения двух типов: центр типа Ce1 (полоса ФЛ при 2.0-2.5 эВ) и центр типа Ce2 (полоса ФЛ при 2.5-3.1 эВ).

Обнаружена и исследована интенсивная низкотемпературная ($T = 80$ К) полоса ФЛ в «красной» области спектра при $E_m = 1.93$ эВ, которая проявляется только в кристалловолоконных образцах LGBO:Ce (рисунок 2). Спектральный профиль полосы является неэлементарным: энергетическое положение максимума варьируется от 1.8 до 2.0 эВ (FWHM = 0.29-0.40 эВ) в зависимости от условий эксперимента; низкоэнергетический скат полосы (1.6-1.9 эВ) наблюдается только при наличии переноса энергии электронных возбуждений $\text{Gd}^{3+} \rightarrow \text{Ce}^{3+}$; высокоэнергетический скат полосы (1.9-2.2 эВ) проявляется только при прямом фотовозбуждении.

Доминирующая полоса возбуждения при $E_{\text{ex}} = 3.0$ эВ совпадает с полосой d-f люминесценции ионов Ce^{3+} , что обеспечивает эффективную передачу энергии электронных возбуждений от ионов Ce^{3+} к центрам «красной» люминесценции.

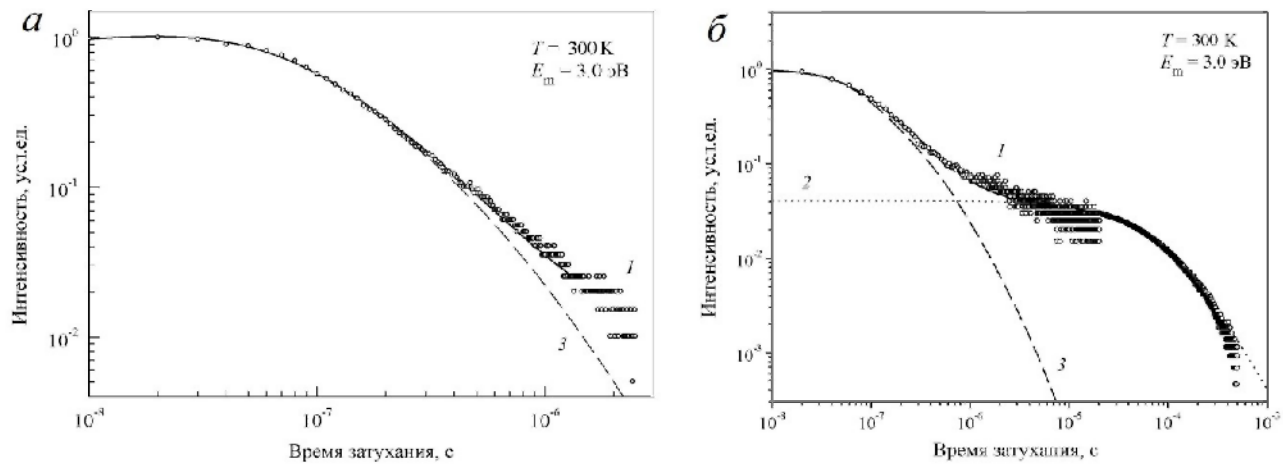


Рисунок 3 – Кинетика затухания ИКЛ монокристаллических (а) и кристалловолоконных (б) образцов LGBO:Се при Т = 300 К, зарегистрированной люминесценции при $E_m = 3.0$ эВ (1) и гиперболическая зависимость второго порядка (2), соответствующая вкладу рекомбинационного процесса. Для сравнения приведен расчетный вклад туннельного компонента (3)

ния нижних $5d$ -уровней ионов Ce^{3+} ($E_{\text{ex}} = 3.6\text{-}4.5$ эВ) наблюдается внутрицентровое тушение, соответствующее закону Мотта ($E_a = 0.3$ эВ, $T_{1/2} = 350$ К). Стимулирование высоковозбужденных $5d$ -состояний ионов Ce^{3+} ($E_{\text{ex}} > 4.5$ эВ) в кристалловолоконных образцах LGBO:Се приводит к внешнему тушению, происходящему через перенос электрона с высоковозбужденных $5d$ -уровней ионов Ce^{3+} на состояния дна зоны проводимости кристалла ($E_a = 0.7$ эВ, $T_{1/2} = 470$ К).

Для монокристаллов и кристалловолоконных образцов LGBO:Се в едином цикле исследования при возбуждении электронным пучком наносекундной длительности были получены экспериментальные данные по спектрам и кинетике затухания ИКЛ ($T = 80$ и 300 К) и КОП ($T = 300$ К).

Предложен и экспериментально обоснован альтернативный механизм возбуждения ИКЛ, ключевым моментом которого является учет ранее установленного факта, что воздействие электронного пучка наносекундной длительности приводит к образованию короткоживущих дефектов катионной подрешетки в виде междуузельных атомов лития (Li^0). Экспериментально обосновано, что туннельный перенос электрона между центрами Li^0 и Ce^{4+} ведет к перезарядке примесного иона церия и формированию короткоживущего Ce^{3+} центра в возбужденном

состоянии. Излучательное снятие возбуждения приводит к дополнительному вкладу в полосу d-f люминесценции ионов Ce³⁺. Предложенный альтернативный механизм возбуждения LGBO:Ce объясняет как повышенную интенсивность люминесценции при возбуждении электронным пучком наносекундной длительности, так и неэкспоненциальный характер кинетики затухания ИКЛ (рисунок 3).

В пятой главе «Термостимулированные рекомбинационные процессы» впервые выполнено комплексное исследование термостимулированных рекомбинационных процессов в монокристаллических и кристалловолоконных образцах LGBO:Ce в широкой области температур 10-500 К. Для всей области температур получены экспериментальные результаты по спектрам стационарной РЛ и кривым ТСЛ, которые были дополнены результатами математического моделирования термостимулированных рекомбинационных процессов. Численное моделирование было выполнено путем решения полной системы дифференциальных уравнений электронного баланса в рамках единой унифицированной модели.

Установлено, что во всей исследованной области температур спектры стационарной РЛ всех исследованных образцов LGBO:Ce характеризуются дублетом при 400-420 нм (2.95–3.1 эВ), который обусловлен излучательными d-f переходами в примесных ионах Ce³⁺. Максимальная интенсивность люминесценции наблюдается при температуре $T = 250$ К. Кроме того, в спектрах РЛ монокристаллических образцов LGBO:Ce наблюдается узкая полоса (пик) при 313 нм, которая обусловлена излучательными $^6P_J \rightarrow ^8S_{7/2}$ переходами в матричных ионах Gd³⁺.

Изучены кривые ТСЛ после предварительного возбуждения рентгеновским излучением при $T = 10$ и 80 К. Особенностью данного цикла измерений явились использование двух (спектрально-интегральный и спектрально-селективный) режимов регистрации ТСЛ. Экспериментальные данные по спектрально-селективной ТСЛ, зарегистрированной люминесценции в полосах при 400-420 нм и 313 нм, позволили выделить кривые ТСЛ, обусловленные процессами электронной рекомбинации и процессами дырочной рекомбинации.

Выдвинута и экспериментально обоснована унифицированная математическая модель, которая описывает процессы термостимулированной рекомбинации в монокристаллических и кристалловолоконных образцах LGBO:Ce (рисунок 4).

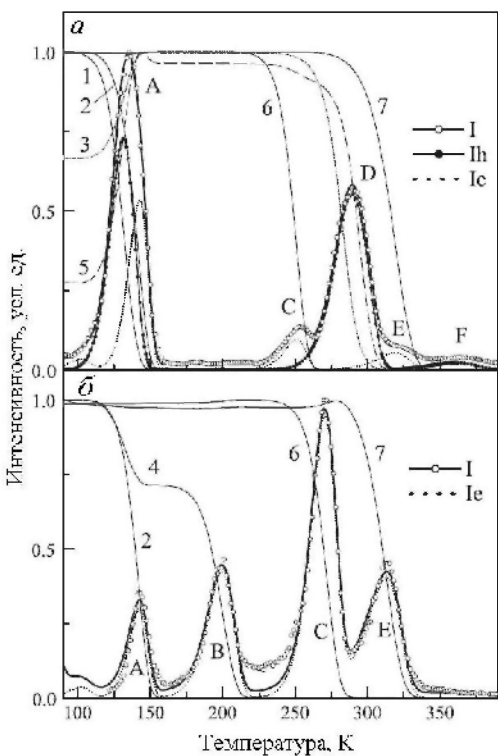


Рисунок 4 – Расчетные кривые ТСЛ для монокристаллических (а) и кристалловолоконных образцов (б): спектрально-интегральная люминесценция (I); вклад дырочных (I_h) и электронных (I_e) рекомбинационных процессов в спектрально-интегральную ТСЛ; нормированные значения концентрации для носителей заряда на центрах захвата: n_2 – (1), n_3 – (2), n_4 – (3), n_5 – (4), n_6 – (5), n_7 – (6), n_9 – (7). Светлые кружки показывают экспериментальные данные для спектрально-интегральной ТСЛ; символы A–F маркируют экспериментально наблюдаемые пики ТСЛ интерпретировали как O^- -центр в иона кислорода.

С точки зрения рекомбинационных процессов, кристалловолоконные образцы характеризуются наличием двух отличительных особенностей: во-первых, наличием безызлучательной дырочной рекомбинации на электронных центрах $E3$, $E5$ и $E11$; во-вторых, наличием глубоких дырочных центров захвата $H10$. Результатом для кристалловолоконных образцов является преобладающий электронный характер рекомбинационных процессов и существенный вклад туннельной рекомбинации. Центр $E11$ является одним из возможных партнеров туннельной рекомбинации.

Основные результаты интерпретации экспериментальных данных в рамках выдвинутой модели заключаются в следующем. Обнаружен низкотемпературный неэлементарный пик ТСЛ при 125–155 К (пик ‘ A ’). Низкотемпературная часть пика обусловлена делокализации дырок из центров $H2$, высокотемпературная часть пика обусловлена делокализации электронов из центров $E3$. В кристалловолоконных образцах наблюдается только высокотемпературная часть пика ‘ A ’. Дырочный центр захвата $H2$ сопоставим с собственным дефектом A -типа, который ранее наблюдали в бинарных боратах лития и

Показано, что пик ‘D’ в температурной области 250-310 К обусловлен системой двух конкурирующих дырочных центров $H4$ и $H6$. Пик ‘B’ обусловлен делокализацией электронов из центра $E5$. Глубокие дырочные центры захвата $H8$ можно связать с примесным центром Ce^{3+} .

Выполнение объединенного цикла экспериментальных и теоретических исследований для образцов монокристаллов и кристалловолокон литий гадолиниевого ортобората позволило, впервые получить значительное количество новых данных о механизмах термостимулированных рекомбинационных процессов в монокристаллических и кристалловолоконных образцах LGBO:Ce. Это заложило научные основы для дальнейшего исследования процессов формирования дефектов и переноса энергии электронных возбуждений в монокристаллических и кристалловолоконных образцах LGBO:Ce при легировании различными примесями.

ЗАКЛЮЧЕНИЕ

В едином цикле измерений впервые выполнено комплексное экспериментальное исследование параметров электронной структуры и процессов переноса энергии электронных возбуждений в монокристаллических и кристалловолоконных образцах LGBO:Ce с использованием инструментальных методов люминесцентной и оптической спектроскопии в широком температурном (10-500 К) и энергетическом (1.2-21 эВ) диапазонах, интегральной и спектрально-селективной термостимулированной люминесценции, а также времяразрешенными методами импульсной абсорбционной спектроскопии и импульсной катодолюминесценции. В дополнение к инструментальным методам в работе использованы расчетные методы: дисперсионный анализ оптических спектров и математическое моделирование термостимулированных рекомбинационных процессов.

Основные выводы проведенной работы состоят в следующем.

1. Методом низкотемпературной люминесцентно-оптической ВУФ-спектроскопии впервые получены низкотемпературные ($T = 10$ и 30 К) спектры отражения и возбуждения собственной ФЛ монокристаллов LGBO при селективном фотовозбуждении синхротронным излучением. Основываясь на результатах дисперсионного анализа низкотемпературных спектров отражения и расчетах оп-

тических функций $\hat{\epsilon}(E)$, $\hat{n}(E)$ и $\mu(E)$, определены параметры электронной структуры кристаллов LGBO: значение минимальной энергии межзонных переходов в борокислородном каркасе LGBO $E_g = 9.4$ эВ ($T = 10$ К), положение первого максимума при возбуждении анионного экситона $E_{n=1} = 7.5$ эВ, энергетическое положение и свойства полосы поглощения с переносом заряда O-Gd - $E_{CT} = 6.8$ эВ, пороговая энергия возбуждения катионных экситонов в цепочках ионов Gd³⁺ - $E_{CT} = 6.6$ эВ.

2. В широком интервале температур от 10 до 500 К были изучены спектры ФЛ, возбуждения ФЛ, а также температурные зависимости интенсивности ФЛ при различных условиях эксперимента. Помимо двух типичных полос d-f люминесценции примесных ионов Ce³⁺ при 2.0-2.5 эВ (Ce1) и 2.5-3.1 эВ (Ce2), обусловленных ионами церия в различных кристаллографических позициях; обнаружена новая интенсивная низкотемпературная полоса ФЛ в «красной» области спектра, которая проявляется только в кристалловолоконных образцах LGBO:Ce при 80 К. Положение максимума этой неэлементарной полосы варьируется от 1.8 до 2.0 эВ (FWHM = 0.29-0.40 эВ) в зависимости от условий эксперимента; низкоэнергетическая часть полосы (1.6-1.9 эВ) наблюдается только при наличии переноса энергии электронных возбуждений Gd³⁺ → Ce³⁺; высокоэнергетическая часть полосы (1.9-2.2 эВ) проявляется только при прямом фотовозбуждении. Доминирующая полоса возбуждения при $E_{ex} = 3.0$ эВ совпадает с полосой d-f люминесценции ионов Ce³⁺, что обеспечивает эффективную передачу энергии электронных возбуждений от ионов Ce³⁺ к центрам «красной» люминесценции.

3. Выявлено наличие различных механизмов температурного тушения d-f люминесценции ионов Ce³⁺ в кристаллах LGBO:Ce. При возбуждении самых низких 5d-уровней ионов Ce³⁺ ($E_{ex} = 3.6-4.5$ эВ) наблюдается внутрицентровое тушение, соответствующее закону Мотта ($E_a = 0.3$ эВ, $T_{1/2} = 350$ К). Стимулирование высоковозбужденных 5d-состояний ионов Ce³⁺ ($E_{ex} > 4.5$ эВ) в кристалловолоконных образцах LGBO:Ce приводит к внешнему тушению, происходящему через перенос электрона с высоковозбужденных 5d-уровней ионов Ce³⁺ на состояния дна зоны проводимости кристалла ($E_a = 0.7$ эВ, $T_{1/2} = 470$ К).

4. На основании данных, полученных времязарезенными методами импульсной абсорбционной спектроскопии и импульсной катодолюминесценции, предложен и экспериментально обоснован альтернативный механизм возбуждения ИКЛ, ключевым моментом которого является учет ранее установленного факта, что воздействие электронного пучка наносекундной длительности приводит к образованию короткоживущих дефектов катионной подрешетки в виде междоузельных атомов лития (Li^0). Экспериментально обосновано, что туннельный перенос электрона между центрами Li^0 и Ce^{4+} ведет к перезарядки примесного иона церия и формированию короткоживущего Ce^{3+} центра в возбужденном состоянии. Излучательное снятие возбуждения приводит к дополнительному вкладу в полосу d-f люминесценции ионов Ce^{3+} . Предложенный альтернативный механизм возбуждения LGBO:Ce объясняет как повышенную интенсивность люминесценции при возбуждении электронным пучком наносекундной длительности, так и неэкспоненциальный характер кинетики затухания ИКЛ.

5. Термостимулированные рекомбинационные процессы в монокристаллических и кристалловолоконных образцах LGBO:Ce впервые исследованы в широком диапазоне температур 10-500 К с применением методов стационарной РЛ, интегральной и спектрально-селективной ТСЛ. Экспериментальные данные по спектрально-селективной ТСЛ позволили экспериментально выделить термостимулированные процессы, обусловленные электронной и дырочной рекомбинациями.

6. Выдвинута и экспериментально обоснована унифицированная математическая модель, которая описывает термостимулированные рекомбинационные процессы в монокристаллических и кристалловолоконных образцах LGBO:Ce . С точки зрения рекомбинационных процессов, кристалловолоконные образцы характеризуются наличием двух отличительных особенностей: во-первых, наличием безызлучательной дырочной рекомбинации на электронных центрах $E3$, $E5$ и $E11$; во-вторых, наличием глубоких дырочных центров захвата $H10$. Результатом для кристалловолоконных образцов выявили преобладающий электронный характер рекомбинационных процессов и существенный вклад туннельной рекомбинации. Центр $E11$ является одним из возможных партнеров туннельной рекомбинации.

Консолидированный анализ экспериментальных данных и результатов математического моделирования позволил установить знаки делокализующихся носителей для всех пиков ТСЛ в области 80-350 К и высказать обоснованные предположения относительно интерпретации центров захвата и рекомбинации.

7. Основные отличия между монокристаллическими и кристалловолоконными образцами заключаются в следующем:

- наличие дефектов, присутствующих только в кристалловолокне и проявляющихся в виде интенсивной полосы ФЛ в «красной» области спектра при 1.9 эВ и интенсивной туннельной люминесценции при температурах ниже комнатной;
- альтернативный механизм возбуждения катодолюминесценции церия в кристалловолокне через формирование короткоживущих Ce^{3+} центров в результате взаимодействия с дефектами решетки;
- преимущественно электронный характер рекомбинационных процессов в кристалловолокне в отличие от монокристалла, где в равной степени наблюдаются процессы электронной и дырочной рекомбинации. Установление этого факта позволило дать объяснение многим наблюдаемым явлениям в кристалловолокне LGBO, в частности, объяснить различия в картине ТСЛ кристалловолокна и монокристалла в области 80 – 300 К, а также объяснить отсутствие (или крайне низкую интенсивность) полосы люминесценции при 3.95 эВ в кристалловолокне.

Выполнение объединенного цикла экспериментальных исследований и расчетов для монокристаллических и кристалловолоконных образцов двойного ортобората лития-гадолиния LGBO:Ce позволило впервые получить значительное количество новых данных о механизмах рекомбинационных процессов, динамике электронных возбуждений и люминесценции. Это создает научные основы как для практических приложений данного оптического материала, так и для дальнейшего исследования процессов формирования дефектов и переноса энергии электронных возбуждений в монокристаллических и кристалловолоконных образцах LGBO:Re.

СПИСОК ПУБЛИКАЦИЙ ПО ТЕМЕ ДИССЕРТАЦИОННОЙ РАБОТЫ

Статьи, опубликованные в рецензируемых научных журналах, определенных ВАК:

1. Ogorodnikov, I.N. A comparative spectroscopic study of photoluminescence in $\text{Li}_6\text{GdB}_3\text{O}_9:\text{Ce}$ single crystals and crystal-fibers / I.N. Ogorodnikov, D.O. Vostrov, V.A. Pustovarov, I.N. Sedunova // Journal of Luminescence. – 2015. – № 159. – P. 258-264. (0.45 п.л. / 0.3 п.л.).
2. Ogorodnikov, I.N. Cathodoluminescence kinetics of $\text{Li}_6\text{GdB}_3\text{O}_9$ crystals / I.N. Ogorodnikov, M.S. Kiseleva, D.O. Vostrov, V.Yu. Yakovlev // Journal of Luminescence. – 2015. – № 158. – P. 252-259. (0.5 п.л. / 0.3 п.л.).
3. Ogorodnikov, I.N. Optical and luminescence spectroscopy studies of electronic structure of $\text{Li}_6\text{GdB}_3\text{O}_9$ single crystals / I.N. Ogorodnikov, V.A. Pustovarov, S.I. Omelkov, D.O. Vostrov, L.I. Isaenko // Optical Materials. – 2014. – № 36. – P. 1060-1064. (0.3 п.л. / 0.2 п.л.).
4. Ogorodnikov. I.N. Thermoluminescence kinetics of $\text{Li}_6\text{GdB}_3\text{O}_9$ crystals / I.N. Ogorodnikov, D.O. Vostrov, V.A. Pustovarov, I.N. Sedunova // Optical Materials. – 2014. – № 36. – P. 1571-1579. (0.55 п.л. / 0.3 п.л.).
5. Vostrov, D.O. Thermoluminescent and photoluminescent spectroscopy of $\text{Li}_6\text{Gd}(\text{BO}_3)_3\text{Ce}$ crystal-fibers / D.O. Vostrov, I.N. Ogorodnikov, N., V.A. Pustovarov, I.N. Sedunova // Известия высших учебных заведений. Физика. – 2014. – № 12 (3). – С. 80-84. (0.3 п.л. / 0.2 п.л.).
6. Kiseleva, M.S. Optical and luminescence properties of lithium gadolinium orthoborate crystals / M.S. Kiseleva, I.N. Ogorodnikov, I.N. Sedunova, D.O. Vostrov, V.Yu. Yakovlev // Известия высших учебных заведений. Физика. – 2014. – № 12 (3). – С. 32-35. (0.25 п.л. / 0.15 п.л.).
7. Vostrov, D.O. Luminescence of $\text{Li}_6(\text{Gd},\text{Y})(\text{BO}_3)_3:\text{Ce}$ fibers / D.O. Vostrov, I.N. Sedunova, I.N. Ogorodnikov, V.Yu. Ivanov // Известия высших учебных заведений. Физика. – 2012. – № 11 (3). – С. 256-260.

Другие публикации:

8. Vostrov, D.O. Thermoluminescent and photoluminescent spectroscopy of $\text{Li}_6\text{Gd}(\text{BO}_3)_3\text{Ce}$ crystal-fibers / D.O. Vostrov, I.N. Ogorodnikov, V.A. Pustovarov, I.N.

Sedunova // Abstracts of 4th International Congress on Radiation Physics, High Current Electronics, and Modification of Materials; 15th International Conference on Radiation Physics and Chemistry of Condensed Matter. – 2014. – С. 427. (0.1 п.л. / 0.05 п.л.).

9. Kiseleva, M.S. Optical and luminescence properties of lithium gadolinium orthoborate crystal / M.S. Kiseleva, I.N. Ogorodnikov, I.N. Sedunov, D.O. Vostrov, V.Yu. Yakovlev // Abstracts of 4th International Congress on Energy Fluxes and Radiation Effects. – 2014. – С. 448. (0.1 п.л. / 0.05 п.л.).

10. Востров, Д.О. Изучение термolumинесцентных и фотolumинесцентных спектров кристалло-волокна $\text{Li}_6\text{Gd}(\text{BO}_3)_3:\text{Ce}$ / Д.О. Востров, И.Н. Огородников, В.А. Пустоваров, И.Н. Седунова // Тезисы. Первая международная молодежная научная конференция, посвященная 65-летию основания Физико-технологического института. – 2014. – С. 67-68. (0.15 п.л. / 0.10 п.л.).

11. Киселева, М.С. Оптические и люминесцентные свойства кристаллов ортобората лития-гадолиния / М.С. Киселева, И.Н. Огородников, И.Н. Седунова, Д.О. Востров, В.Ю. Яковлев // Тезисы. Первая международная молодежная научная конференция, посвященная 65-летию основания Физико-технологического института. – 2014. – С. 80-81. (0.15 п.л. / 0.1 п.л.).

12. Sedunova, I.N. Luminescence properties of $\text{Li}_6(\text{Gd},\text{Y})(\text{BO}_3)_3:\text{Ce}$ fibers / I.N. Sedunova, D.O. Vostrov, I.N. Ogorodnikov, V.Yu. Ivanov // Сборник докладов X Иссык-Кульской Международной конференции по радиационной физике SCORPH-2013. – 2013. – С. 147-153. (0.45 п.л. / 0.3 п.л.).

13. Vostrov, D.O. Luminescence of $\text{Li}_6(\text{Gd},\text{Y})(\text{BO}_3)_3:\text{Ce}$ fibers / D.O. Vostrov, I.N. Sedunova, I.N. Ogorodnikov, V.Yu. Ivanov // Abstracts of 3rd International Congress on Radiation Physics, High current electronics, and modification of materials. – 2012. – С. 55. (0.1 п.л. / 0.05 п.л.).

Подписано в печать

Формат 60x84 1/16

Бумага писчая

02.10.2015

Офсетная печать

Тираж 100 экз.

Заказ № 167

Отпечатано в ризографии НИЧ УрФУ

620002, Екатеринбург, ул. Мира 19